

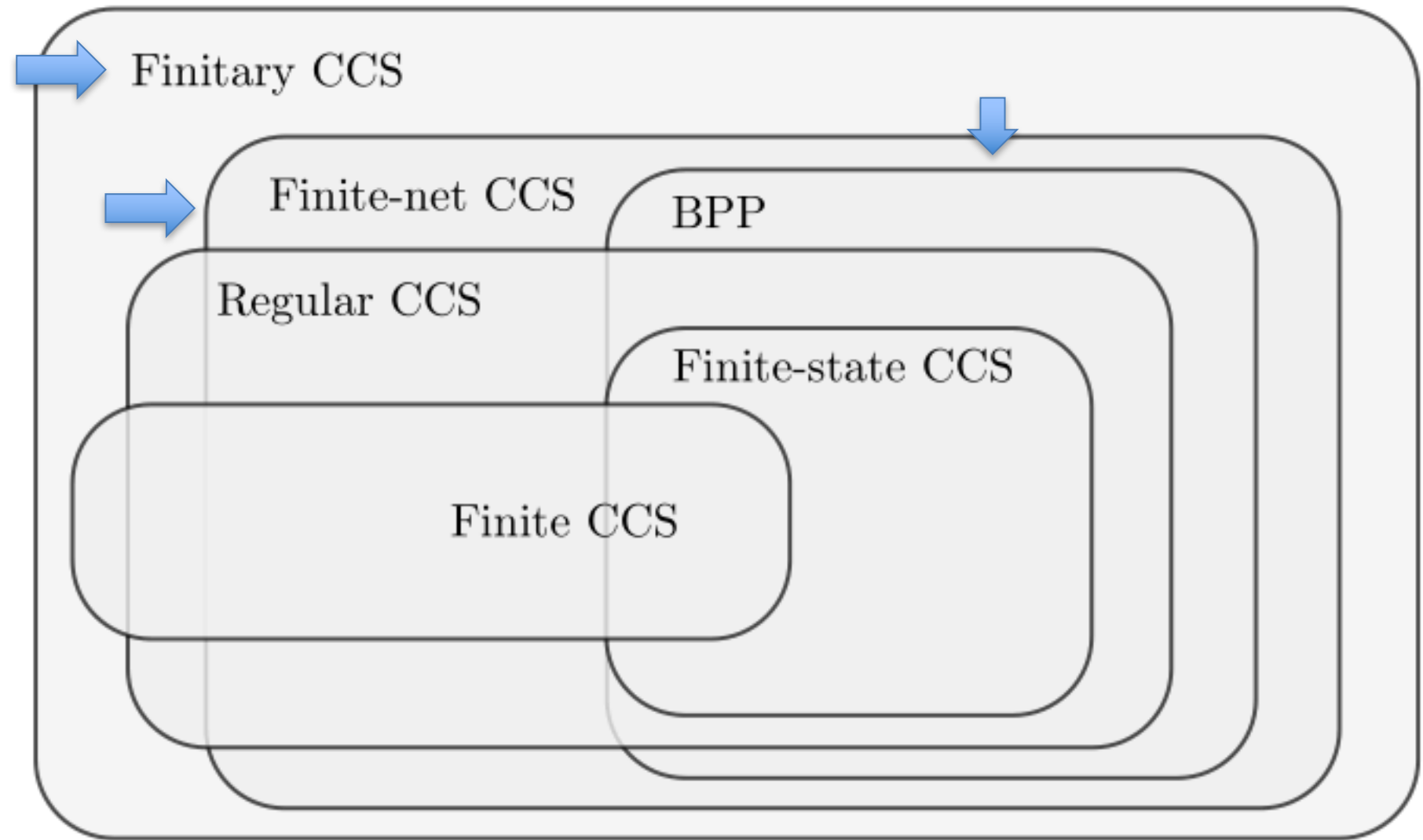
Lezione 12 MSC

CCS – sottoclassi di CCS

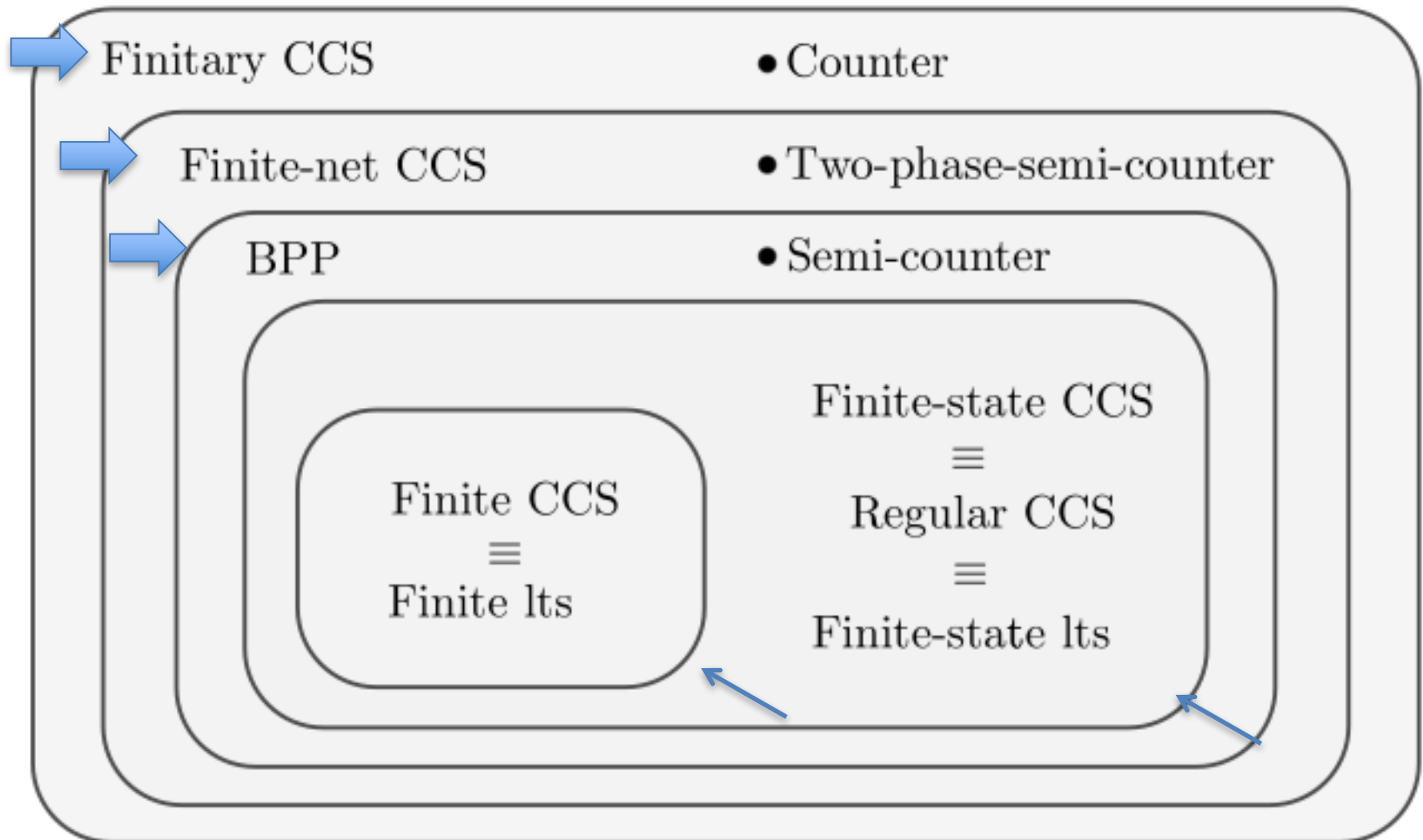
seconda parte (di 2)

Roberto Gorrieri

Syntax



Semantics



BPP: Basic Parallel Processes

- BPP è una estensione sintattica di finite-state CCS, che permette di usare anche il parallelo

$$\begin{aligned} s &::= \mathbf{0} \mid \mu.p \mid s + s \\ p &::= s \mid p \mid p \mid C \end{aligned}$$

- Si assume che il parallelo **non consenta la sincronizzazione** (puro asincrono)
- Come sempre, le costanti sono definite e guardate e per ogni p , $\text{Const}(p)$ è finito.
- Sintassi compatta:

$$p ::= \sum_{j \in J} \mu_j.p_j \mid C \mid p \mid p$$

BPP - osservazioni

- **Sintatticamente:** BPP è una superclasse di finite-state CCS, ma non contiene regular CCS perché
 - La restrizione può essere usata da regular CCS
 - Il parallelo può essere usato in definizioni di costanti per BPP (ad es. $C = a.0 \mid b.C$)
- **Semanticamente:** BPP è una superclasse di finite-state CCS/regular CCS perché esprime tutti gli lts finiti e, in aggiunta, molti lts infiniti.

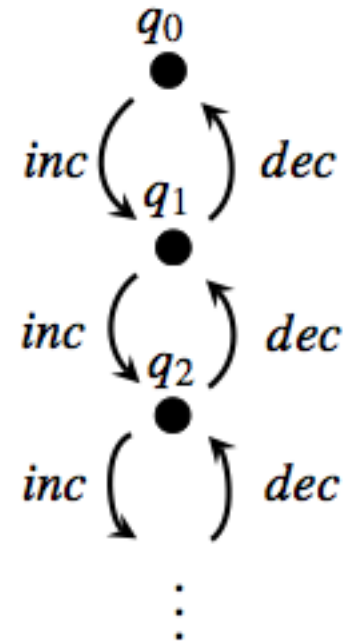
Semi-counter in full CCS

- Definizione in (full) CCS con infinite costanti:

$$SCount_0 \stackrel{def}{=} inc.SCcount_1$$

$$SCount_n \stackrel{def}{=} inc.SCcount_{n+1} + dec.SCcount_{n-1} \quad n > 0$$

- $SCount_i$ non può essere equivalente a $SCount_{i+1}$ perché solo il secondo può eseguire la traccia composta da $i+1$ occorrenze consecutive dell'azione dec ; perciò, possiamo concludere che **nessun processo finite-state CCS può essere equivalente a $SCount_0$.**



Semi-counter in BPP

- Usando una sola costante, possiamo definire il processo BPP

$$SC \stackrel{def}{=} inc.(SC | dec.0)$$

- che **non** genera un Its **isomorfo** a quello del lucido precedente, ma si può dimostrare che **SC** e **SCount₀** sono **strong bisimili**.
- Esercizio: prova a disegnare un frammento iniziale dell'Its per SC.

SC vs SCount₀ (1)

Now we prove that $SCount_0$ and SC are strongly bisimilar. Consider the relation

$$R = \{(SCount_n, SC \mid \Pi_{i=1}^n dec.\mathbf{0}) \mid n \geq 0\}.$$

It is not difficult to see that it is a strong bisimulation up to \sim , where we take advantage of the fact that parallel composition is associative¹⁶, commutative, with $\mathbf{0}$ as neutral element, with respect to strong bisimilarity \sim . This is proved in Section 4.1.1, Proposition 4.2, on page 162. Moreover, we are also using the fact that \sim is a congruence for parallel composition, i.e., if $p \sim q$, then $p \mid r \sim q \mid r$ for all r ; this is proved in Theorem 4.1 on page 178. (For concrete details, see Example 4.2 on page 163.)

First, observe that for $n = 0$, the pair in R is $(SCount_0, SC \mid \mathbf{0})$. If R is a bisimulation up to \sim , then $SCount_0 \sim SC \mid \mathbf{0}$. As $SC \mid \mathbf{0} \sim SC$, by transitivity we get our expected result: $SCount_0 \sim SC$. Now, let us prove that R is indeed a strong bisimulation up to \sim .

SC vs SCount₀ (2)

One direction:

Assume that $SCount_n \xrightarrow{\alpha} q$. Then *either* $\alpha = inc$ and $q = SCount_{n+1}$, *or* $n > 0$, $\alpha = dec$ and $q = SCount_{n-1}$. In the former case, the matching transition is

$$SC \mid \Pi_{i=1}^n dec.\mathbf{0} \xrightarrow{inc} (SC \mid dec.\mathbf{0}) \mid \Pi_{i=1}^n dec.\mathbf{0}$$

(where the reached state is bisimilar to $SC \mid \Pi_{i=1}^{n+1} dec.\mathbf{0}$) and the pair $(SCount_{n+1}, SC \mid \Pi_{i=1}^{n+1} dec.\mathbf{0}) \in R$.

In the latter case, (one of) the matching *dec* transition(s) starts from $SC \mid \Pi_{i=1}^n dec.\mathbf{0}$ and reaches $(SC \mid \Pi_{i=1}^{n-1} dec.\mathbf{0}) \mid \mathbf{0}$, which is strongly bisimilar to $SC \mid \Pi_{i=1}^{n-1} dec.\mathbf{0}$, and the pair $(SCount_{n-1}, SC \mid \Pi_{i=1}^{n-1} dec.\mathbf{0}) \in R$.

SC vs SCount₀ (3)

The other direction:

Assume now $SC \mid \Pi_{i=1}^n dec.\mathbf{0} \xrightarrow{\alpha} p$. Then, by inspecting the rules for parallel composition:

1. *Either* $SC \xrightarrow{inc} SC \mid dec.\mathbf{0}$ and thus $\alpha = inc$ and process $p = (SC \mid dec.\mathbf{0}) \mid \Pi_{i=1}^n dec.\mathbf{0}$ (which is bisimilar to $SC \mid \Pi_{i=1}^{n+1} dec.\mathbf{0}$). In such a case, the matching transition is $SCount_n \xrightarrow{inc} SCount_{n+1}$, and the pair $(SCount_{n+1}, SC \mid \Pi_{i=1}^{n+1} dec.\mathbf{0})$ is in R .
2. *Or* $n > 0$, $\alpha = dec$ and p is one of the following three processes:
 $(SC \mid \mathbf{0}) \mid \Pi_{i=1}^{n-1} dec.\mathbf{0}$ or $(SC \mid \Pi_{i=1}^{n-1} dec.\mathbf{0}) \mid \mathbf{0}$ or $((SC \mid \Pi_{i=1}^{n-k} dec.\mathbf{0}) \mid \mathbf{0}) \mid \Pi_{i=1}^{k-1} dec.\mathbf{0}$
for some $1 \leq k < n$.
In any case, p is strongly bisimilar to $SC \mid \Pi_{i=1}^{n-1} dec.\mathbf{0}$. The matching transition is $SCount_n \xrightarrow{dec} SCount_{n-1}$ and the pair $(SCount_{n-1}, SC \mid \Pi_{i=1}^{n-1} dec.\mathbf{0})$ is in R .

And this completes the proof. So, we have shown that a semi-counter can be represented, modulo \sim , by a simple BPP process. \square

BPP languages

- L è un *BPP language* se esiste un processo BPP p tale che $WCTr(p) = L$.
- Tutti i linguaggi regolari sono esprimibili da BPP
- Un processo BPP può generare un linguaggio context-free.
- Le tracce complete di $A \stackrel{def}{=} a.(A \mid b.0) + c.0$,
non costituiscono un linguaggio regolare, perché se
interseco questo linguaggio con a^*cb^* (che è regolare)
non ottengo un linguaggio regolare:
 $CTr(A) \cap a^*cb^* = \{a^kcb^k \mid k \geq 0\}$
- Vedremo che non tutti i linguaggi context-free sono inclusi nei linguaggi BPP.

BPP languages (2)

- Un processo BPP può generare linguaggi non context-free.
- Il processo BPP $B \stackrel{def}{=} a.(B|b.\mathbf{0}) + c.(B|d.\mathbf{0}) + e.\mathbf{0}$ è tale che $\text{CTr}(B)$ non può essere context-free. Infatti, se fosse libero, allora anche l'intersezione con il linguaggio regolare $a^*c^*b^*d^*e$ dovrebbe essere libera; ma tale linguaggio è

$$\text{CTr}(B) \cap a^*c^*b^*d^*e = \{a^k c^n b^k d^n e \mid k, n \geq 0\}$$

che è un tipico esempio di linguaggio context-dependent

BPP – bisimulation equivalence is decidable

- Il problema di decidere l'equivalenza per bisimulazione forte su processi BPP è stato dimostrato decidibile (PSPACE-complete)
- L'equivalenza per bisimulazione è l'unica equivalenza decidibile su una classe di sistemi a stati infiniti.
- Per weak bisimilarity ci sono al momento solo risultati parziali (ad esempio, confronto fra processi BPP e processi finite-state CCS)
- Vale decidibilità di branching bisimilarity for **normed** BPP processes (cioè processi BPP che possono sempre terminare)

Finite-net CCS

- **Sintatticamente:** **Finite-net CCS** è una estensione di BPP (permette di usare anche la restrizione, seppur non nel corpo di una costante, e la sincronizzazione) ma non di regular CCS (permette di usare il parallelo nel corpo di una costante, ma regular permette di fare mix di parallelo e restrizione)

Alternativamente

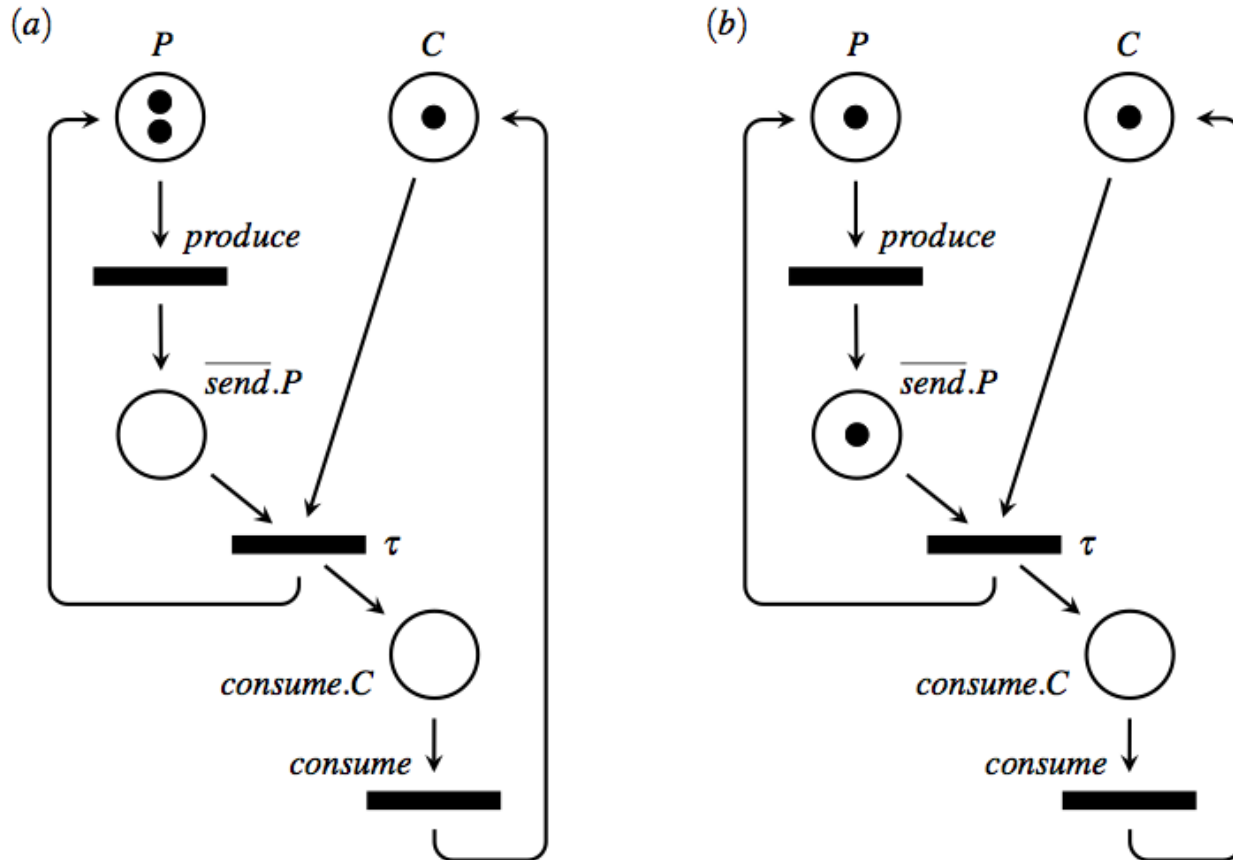
$$\begin{aligned} s &::= \mathbf{0} \mid \mu.t \mid s + s \\ t &::= s \mid t \mid t \mid C \\ p &::= t \mid (\nu a)p \end{aligned}$$

$$\begin{aligned} t &::= \sum_{j \in J} \mu_j.t_j \mid t \mid t \mid C \\ p &::= t \mid (\nu a)p \end{aligned}$$

Finite-net CCS (2)

- **Semanticamente:** **Finite-net CCS** è una estensione di BPP, nel senso che ci sono processi finite-net CCS che non possono essere rappresentati attraverso un BPP.
- **Interesse:**
 - ad ogni processo di Finite-net CCS si può associare una rete di Petri finita
 - ad ogni rete di Petri finita (le cui transizioni hanno al massimo 2 archi in entrata) si può associare un processo finite-net CCS (Representability theorem)

Esempio di rete di Petri

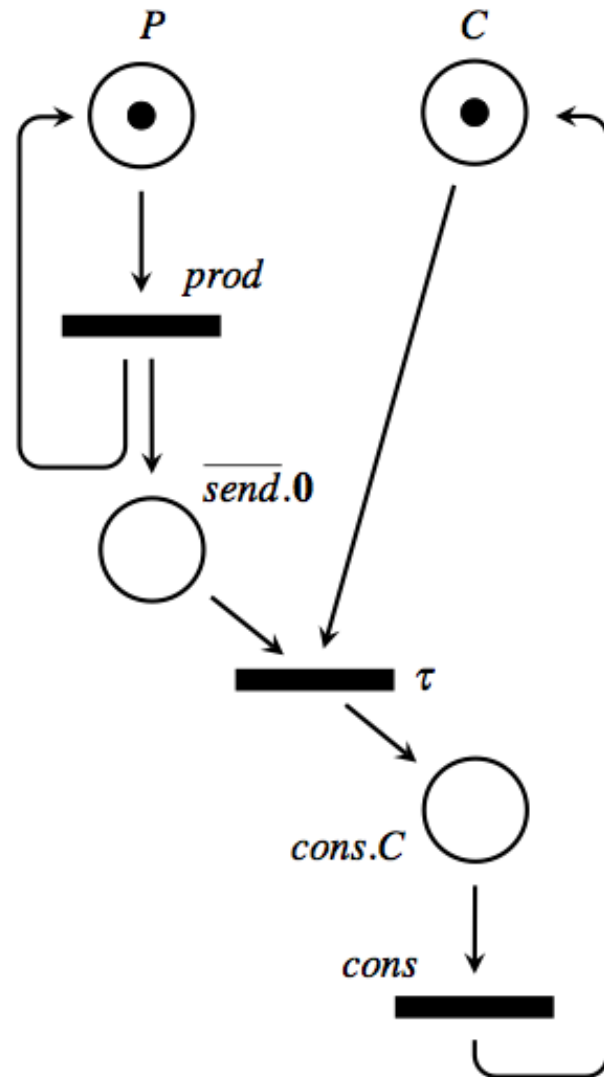


$$2PC = (\nu \text{ send}) ((P | P) | C)$$

$$P = \text{produce}.'\text{send.P} \quad C = \text{send.consume.C}$$

Esempio di rete di Petri (2)

- $UPC = (v \text{ send})(P \mid C)$
- $P = \text{prod.}(P \mid \text{'send.0})$
- $C = \text{send.cons.C}$
- UPC è un processo di finite-net CCS
- Osserva che sul posto 'send.0 si possono accumulare un numero illimitato di tokens



Finite-net CCS (3)

- **Proprietà decidibili** di **Finite-net CCS** via semantica a reti di Petri:
 - **Reachability**: dati p e q finite-net CCS processes, posso verificare se q è raggiungibile da p .
 - **Strong bisimilarity** tra un finite-net CCS process q ed un finite-state CCS process p .
 - **Strong regularity**: dato un finite-net CCS process q , posso verificare se esiste un finite-state CCS process p ad esso strong bisimile.
 - **Bisimulation equivalence** è però in generale **indecidibile** fra due processi finite-net p e q (perché così è sulle reti di Petri finite)

Unbounded Producer/Consumer

- Produttore illimitato -- BPP

$Pr = \text{produce}.(Pr \mid \text{'send}.0)$

- Consumatore – finite-state

$C = \text{send.consume}.C$

- Unbounded Producer/Consumer -- finite-net CCS

$UPC = (\nu \text{ send})(Pr \mid C)$

- Esercizio: dato un buffer illimitato $UB = \text{in}.(UB \mid \text{'out}.0)$
dimostra che UPC è weak bisimile a

$PUBC = (\nu \text{ in out})(P1 \mid UB) \mid C1$ con

$P1 = \text{produce}.\text{'in}.P1$ $C1 = \text{out.consume}.C1$

Esempio (1)

- **Two-phase-Semi-counter**: prima solo inc, poi solo dec (tante quante)

$$2PSC \stackrel{def}{=} (\nu d)INC$$

$$INC \stackrel{def}{=} inc.(INC \mid d.dec.0) + \tau.DEC$$

$$DEC \stackrel{def}{=} \bar{d}.DEC$$

- Le tracce weak complete sono tutte della forma $inc^n dec^n$ per $n \geq 0$
- Si può dimostrare che non è possibile trovare un processo BPP weak trace equivalent a 2PSC.

Esempio (2)

- Linguaggio $a^n b^m c^m$ $m \leq n$

$$ABC \stackrel{def}{=} (\nu d, e, f) A$$

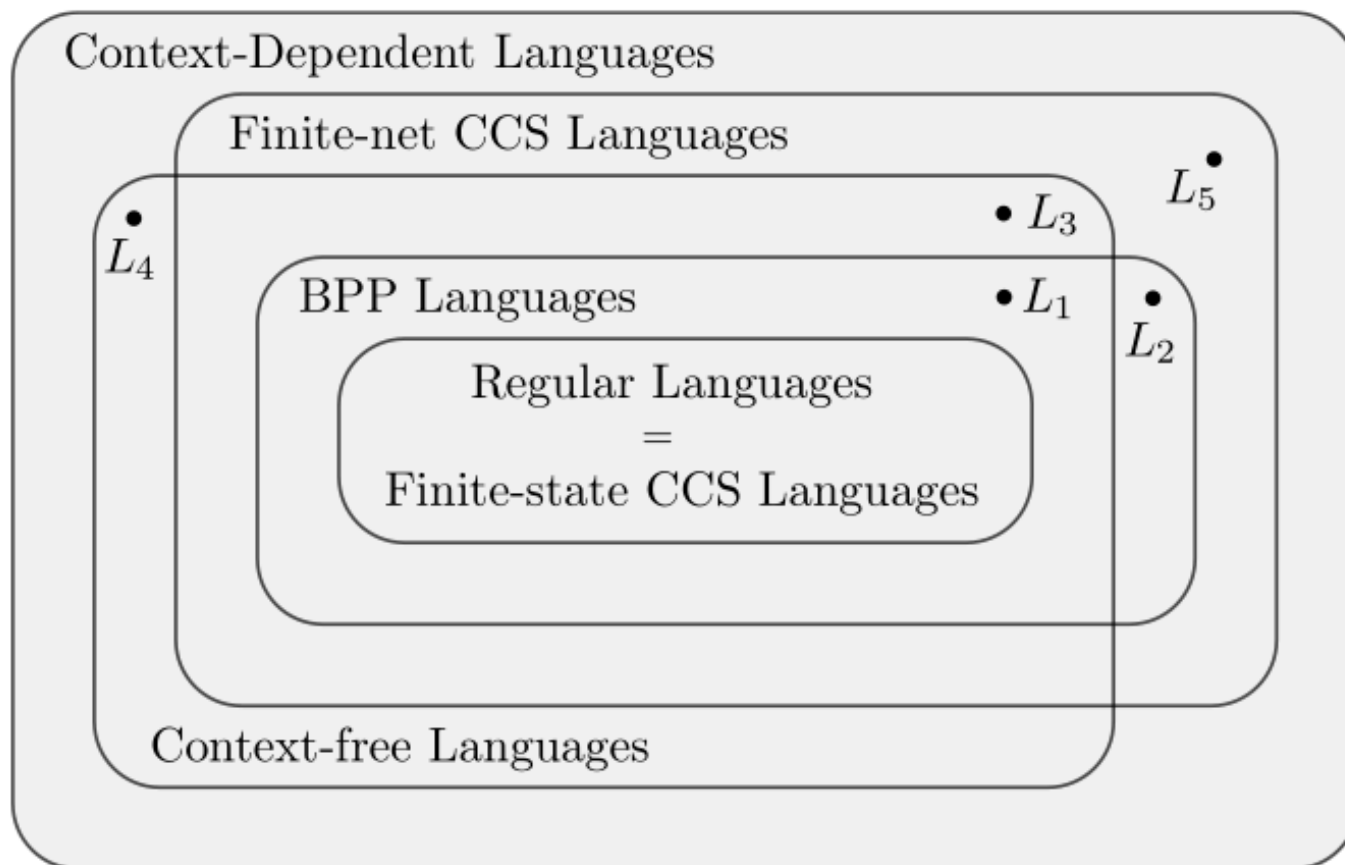
$$A \stackrel{def}{=} a.(A \mid d.b.\bar{e}) + \tau.B$$

$$B \stackrel{def}{=} \bar{d}.e.(B \mid f.c.\mathbf{0}) + \tau.C$$

$$C \stackrel{def}{=} \bar{f}.C$$

Gerarchia di linguaggi

Definition 3.8. (Finite-net CCS language) A language $L \subseteq (\mathcal{L} \cup \overline{\mathcal{L}})^*$ is a *finite-net CCS language* if there exists a finite-net CCS process p such that the set of its weak completed traces is L , i.e., $WCTr(p) = L$. \square



Gerarchia di linguaggi (2)

- L_1 is the set $CTr(A)$ for $A \stackrel{def}{=} a.(A \mid b.\mathbf{0}) + c.\mathbf{0}$, as discussed in Exercise 3.57.
 - $L_2 = CTr(B)$ for $B \stackrel{def}{=} a.(B \mid b.\mathbf{0}) + c.(B \mid d.\mathbf{0}) + e.\mathbf{0}$, as discussed in Example 3.13.
 - $L_3 = \{a^n c b^n \mid n \geq 0\}$, as discussed in Exercise 3.61 (see also Example 3.15).
 - L_4 is the language $\{ww^R \mid w \in \{a, b\}^*\}$, discussed after Exercise 3.62, and realized in finitary CCS in Exercise 3.65.
 - L_5 is the context-dependent language $\{a^n b^m c^m \mid 0 \leq m \leq n\}$ discussed in Example 3.16.
-
- Il linguaggio L_4 è un linguaggio libero non rappresentabile con reti di Petri finite, quindi nemmeno in finite-net CCS.

Finitary CCS

- **Sintatticamente:** è il più grande sotto-linguaggio di CCS che include tutti gli altri, in particolare finite-net CCS perché permette di usare la restrizione dentro il corpo di una costante.
 - Unico vincolo è che p deve avere un insieme $\text{Const}(p)$ finito.
- **Semanticamente:**
 - è strettamente più espressivo di finite-net CCS (Counter)
 - Dimostreremo che è anche Turing-completo.
 - Tuttavia, esistono processi (full) CCS che non hanno nessun processo finitary CCS equivalente.

Counter in full CCS

- Contatore, simile a semi-counter, ma può fare test su zero.

$$Counter_0 \stackrel{def}{=} zero.Counter_0 + inc.Counter_1$$

$$Counter_n \stackrel{def}{=} inc.Counter_{n+1} + dec.Counter_{n-1} \quad n > 0$$

- Nessun processo finite-net CCS q può essere equivalente a $Counter_0$ perché:
 - Ogni processo finite-net CCS genera una rete di Petri finita,
 - Agerwala ha dimostrato che nessuna rete di Petri finita può fedelmente rappresentare un contatore con test su zero.
 - In conclusione, nessun processo finite-net CCS può rappresentare un counter.

Counter in Finitary CCS

- Processo Finitary CCS che usa solo 3 costanti:

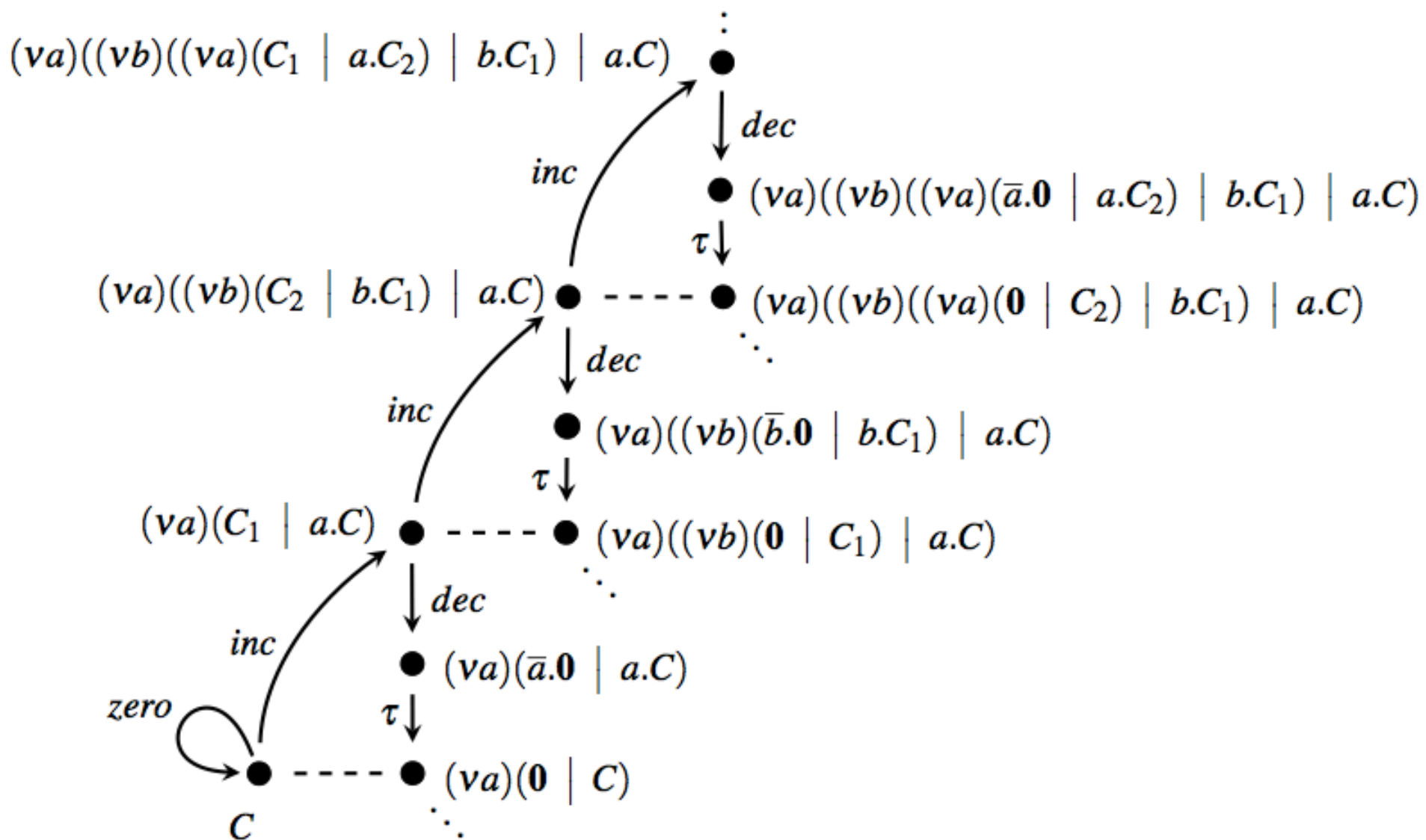
$$C \stackrel{def}{=} zero.C + inc.((\nu a)(C_1 | a.C))$$

$$C_1 \stackrel{def}{=} dec.\bar{a}.0 + inc.((\nu b)(C_2 | b.C_1))$$

$$C_2 \stackrel{def}{=} dec.\bar{b}.0 + inc.((\nu a)(C_1 | a.C_2))$$

- Si alternano le attivazioni di istanze di C_1 (dispari) e C_2 (pari), sempre dentro nuove restrizioni create ogni volta che si esegue inc .
- Il numero rappresentato da un termine è dato dal numero di restrizioni “attive” presenti.

Counter in Finitary CCS (2)



Counter₀ e C sono weak bisimili

- Si può vedere che Counter₀ e C sono weak bisimili.
- Definiamo

$$p_0 = C \quad p_1 = (va)(x \mid a.C) \text{ dove } x \text{ è un place-holder}$$

$$p_{2n} = p_{2n-1}[(vb)(x \mid b.C1)/x] \quad \text{per } n > 0$$

$$p_{2n+1} = p_{2n}[(va)(x \mid a.C2)/x] \quad \text{per } n > 0$$

La relazione

$$\begin{aligned} R = & \{(C, Counter_0)\} \\ & \cup \{(p_{2n}[C_2/x], Counter_{2n}) \mid n > 0\} \\ & \cup \{(p_{2n+1}[C_1/x], Counter_{2n+1}) \mid n \geq 0\} \\ & \cup \{(p_{2n+1}[\bar{a}.0/x], Counter_{2n}) \mid n \geq 0\} \\ & \cup \{(p_{2n}[\bar{b}.0/x], Counter_{2n-1}) \mid n > 0\}. \end{aligned}$$

è una weak bisimulation up to \approx .

Counter₀ e C sono weak bisimili (2)

- $(C, \text{Counter}_0)$ è coppia di bisimulazione. Infatti,
 - se $C\text{-zero} \rightarrow C$, allora $\text{Counter}_0\text{-zero} \rightarrow \text{Counter}_0$ e $(C, \text{Counter}_0)$ è in R.
 - se $C\text{-inc} \rightarrow (va)(C1 \mid a.C)$, allora $\text{Counter}_0\text{-inc} \rightarrow \text{Counter}_1$ e $(p_1[C1/x], \text{Counter}_1)$ appartiene al terzo gruppo di R (quando $n = 0$).
 - Simmetricamente se Counter_0 muove.

Counter₀ e C sono weak bisimili (3)

- Prendiamo le coppie $(p_{2n+1}[C1/x], \text{Counter}_{2n+1})$ per $n \geq 0$ e dimostriamo che sono ok. Infatti,
 - se $p_{2n+1}[C1/x] - \text{inc} \rightarrow p_{2n+1}[(vb)(C2 \mid b.C1)/x]$ che è proprio $p_{2n+2}[C2/x]$, allora $\text{Counter}_{2n+1} - \text{inc} \rightarrow \text{Counter}_{2n+2}$ e $(p_{2n+2}[C2/x], \text{Counter}_{2n+2})$ appartiene al secondo gruppo in R.
 - se $p_{2n+1}[C1/x] - \text{dec} \rightarrow p_{2n+1}[a^-.0/x]$, allora $\text{Counter}_{2n+1} - \text{dec} \rightarrow \text{Counter}_{2n}$ e $(p_{2n+1}[a^-.0/x], \text{Counter}_{2n})$ appartiene al quarto gruppo in R.
 - Simmetricamente se Counter_{2n+1} muove.

Counter₀ e C sono weak bisimili (4)

- Prendiamo la coppia $(p_1[a^-.0/x], \text{Counter}_0)$
- Ora, $p_1[a^-.0/x] = (\nu a)(a^-.0 \mid a.C)$
 - Solo una transizione: $p_1[a^-.0/x] \text{--tau--}\rightarrow (\nu a)(0 \mid C)$
 - Inoltre $(\nu a)(0 \mid C) \sim C$ e
 - $\text{Counter}_0 =_\varepsilon \Rightarrow \text{Counter}_0 \approx \text{Counter}_0$ e
 $(C, \text{Counter}_0)$ appartiene ad R.
- Da Counter_0 due transizioni:
 - $\text{Counter}_0 \text{--zero--}\rightarrow \text{Counter}_0$, allora $p_1[a^-.0/x] \text{--tau--}\rightarrow (\nu a)(0 \mid C) \text{--zero--}\rightarrow (\nu a)(0 \mid C) \sim C$ e $(C, \text{Counter}_0)$ in R.
 - $\text{Counter}_0 \text{--inc--}\rightarrow \text{Counter}_1$, allora $p_1[a^-.0/x] \text{--tau--}\rightarrow (\nu a)(0 \mid C) \text{--inc--}\rightarrow (\nu a)(0 \mid (\nu a)(C1 \mid a.C)) \sim (\nu a)(C1 \mid a.C) = p_1[C1/x]$ e la coppia $(p_1[C1/x], \text{Counter}_1)$ in R.

Counter₀ e C sono weak bisimili (5)

- Prendiamo le coppie $(p_{2n+1}[a^-.0/x], \text{Counter}_{2n})$ per $n > 0$ e dimostriamo che sono in R.
- Infatti, $p_{2n+1}[a^-.0/x]$ è $p_{2n}[(\nu a)(x \mid a.C2)/x][a^-.0/x] =$
$$= p_{2n}[(\nu a)(a^-.0 \mid a.C2)/x].$$
 - Solo una transizione:
$$p_{2n}[(\nu a)(a^-.0 \mid a.C2)/x] \text{--tau-->} p_{2n}[(\nu a)(0 \mid C2)/x]$$
 - Inoltre $p_{2n}[(\nu a)(0 \mid C2)/x] \sim p_{2n}[C2/x]$ e
 - $\text{Counter}_{2n} = \varepsilon \Rightarrow \text{Counter}_{2n} \approx \text{Counter}_{2n}$ e $(p_{2n}[C2/x], \text{Counter}_{2n})$ appartiene al secondo gruppo in R.
- Se Counter_{2n} muove, allora (altri casi come esercizio)

Full CCS

- Nessun vincolo sintattico sul numero delle costanti.
- Full CCS è più espressivo di Finitary CCS. Infatti:
 - **Proposizione**: se p è un processo di **Finitary CCS**, allora l'insieme delle sue azioni eseguibili $\text{sort}(p)$ è finito.
(perché $\text{sort}(p)$ è un sottoinsieme delle azioni che sintatticamente occorrono libere in p)
 - Il processo **full CCS** A_0 , dove le infinite costanti A_k sono definite così $A_k = a_k.A_{k+1}$ (per $k \geq 0$) è tale che $\text{sort}(A_0)$ è infinito = $\{a_0, a_1, a_2, \dots\}$

Finite CCS vs altri sotto-CCS

- **Sintatticamente** Finite CCS non è contenuto in regular CCS (mentre lo è **semanticamente**): ad esempio $a.(a.0 \mid b.0)$ è un processo finite CCS che non è in regular CCS (posso solo applicare il prefisso ad un processo sequenziale in regular CCS)
- **Sintatticamente** Finite CCS non è contenuto in finite-net CCS (mentre lo è **semanticamente**): ad esempio $a.((va)a.0 \mid b.0)$ è un processo finite CCS che non è in finite-net CCS (non posso applicare il prefisso ad un processo con restrizione in finite-net CCS)
- **Sintatticamente** Regular CCS non è contenuto in finite-net CCS (mentre lo è **semanticamente**): ad es. $a.0 \mid (va)b.0$ è un processo regular (e anche finite) CCS che non è in finite-net CCS.